基于改进 YOLOv8 的轻量型车辆目标检测算法

刘荣欣 ¹ 卢胜男 ¹ 刘晓天 ¹ LIU Rongxin LU Shengnan LIU Xiaotian

摘要

针对现有交通监控场景下车辆目标检测算法参数多、计算量大,难以在资源有限的设备中部署的问题,提出一种基于 YOLOv8 改进的轻量型车辆目标检测算法 GSE-YOLO。结合 Ghost 卷积技术,设计出一种轻量型特征提取模块 C2fGhostv2,在减少计算负担的同时保证良好的特征提取能力。在颈部网络,引入 SA(shuffle attention)注意力机制,主动选择合适的特征图权重凸显重要特征信息,减少背景对车辆检测的干扰。引入新的损失函数 EIOU,解决边界框的纵横比模糊问题,提高预测框精度。实验结果表明,在交通数据集 UA-DETRAC 上,GSE-YOLO 在检测精度没有损失的情况下,相较于原始 YOLOv8 参数量降低 36.11%,计算量降低 29.21%,更适合在计算量有限的边缘设备上部署,具有实用价值。

关键词

深度学习;轻量型;车辆目标检测;Ghost卷积;shuffle attention 注意力机制;损失函数

doi: 10.3969/j.issn.1672-9528.2024.06.019

0 引言

车辆目标检测是智能交通领域的重要研究课题,也是计算机视觉的重要研究方向。随着深度学习的发展,基于深度学习的车辆目标检测算法迅速崛起。与传统算法相比,基于深度学习的目标检测算法可以从数据中自主学习特征,不依赖人工,因此检测能力更强、泛化性更好。

目前基于深度学习的目标检测算法主要分为以R-CNN^[1]、Faster R-CNN^[2] 为代表的双阶段算法和以YOLO 系列为代表的单阶段算法。对于交通监控场景中车辆目标检测任务实时性的要求,YOLO 系列算法因其检测速度快的特性而备受关注。田智慧等人^[3]针对小尺度车辆检测效果差的问题,在YOLOv3 的基础上使用 EfficientNet 作为特征提取网络,并使用 4 个特征尺度融合深层特征信息,以提升检测小尺度车辆的准确率。赵璐璐等人^[4] 对 YOLOv5s 进行优化,提出了一种改进的车辆目标检测算法,在主干网络中引入 SE 注意力模块,并采用焦点损失函数(focal loss)解决正负样本不平衡的问题,有效地改善了密集车辆的误检和漏检情况。周飞等人^[5]针对交通监控场景,提出一种改进 YOLOv8 算法,采用 FasterNet 替换原有骨干网络,在骨干和颈部引入SimAM 注意力机制,并添加小目标检测头,显著提高小目标检测能力。

以上研究通过将整个骨干网络替换为其他复杂网络来提升检测性能,或者通过添加小检测头、增加特征尺度来提高模型性能。虽然在检测精度上有所提升,但模型的参数量

1. 西安石油大学 陕西西安 710065

和复杂度也随之大幅增加,难以在移动或资源有限的设备中部署,不满足交通监控场景实时性的要求。因此,本文提出YOLOv8的改进算法: GSE-YOLO。通过引入 Ghost 卷积技术,修改特征提取网络并设计出 C2fGhostv2 模块,以替换原始 C2f 特征提取模块,融合 SA(shuffle attention)注意力机制,将原始损失函数 CIOU 替换为 EIOU。通过一系列改进,使原始模型轻量化,在减少参数和计算量的同时,保证检测精度。

1 改进 YOLOv8 检测模型

YOLOv8 是 YOLO 系列最新的模型,以深度和宽度为标准分为多个模型,模型参数量和计算量随着精度的提升大幅度提高。本文选择 YOLOv8n 作为基线模型,其参数量和计算量少且精度良好,满足交通监控场景的实时性要求。结构分为输入端、主干网络(Backbone)、特征融合网络(Neck)和输出端(Head)组成。

输入端使用 Mosaic 数据增强的方式,对输入图片进行随机缩放、随机裁剪和随机排列,不但丰富了检测的数据集,还随机增加了很多小目标对象,增强了网络的鲁棒性 ^[6]。Backbone 由 CBS 模块、C2f 模块和 SPPF 模块组成。CBS 模块对输入信息执行卷积操作。C2f 模块使模型的梯度流更加丰富。SPPF 模块通过依次连接三个最大池化层来减少计算量,具有较低的延迟,适合对实时性要求较高的应用场景。Neck部分对提取到的特征进行融合,使用了 FPN 和 PAN 的特征金字塔结构。Head 部分使用解耦头结构,缓解了分类和定位任务之间存在的冲突。

基于 YOLOv8 改进轻量型车辆目标检测算法: GSE-YOLO。首先,将 Ghostv2Bottleneck 结构集成到原始 C2f 模块中,设计出轻量型特征提取模块 C2fGhostv2,再将网络中的普通卷积(不包括第一个)替换为 Ghost 卷积以减少模型复杂度。其次,在 Neck 部分进行特征融合前,添加 SA 注意力模块,使重要特征信息在融合时占据主要地位。最后,将算法的 CIOU 边界框回归损失函数替换为 EIOU,以提高检测框的精度,加快收敛。GSE-YOLO 的整体网络结构如图 1 所示。

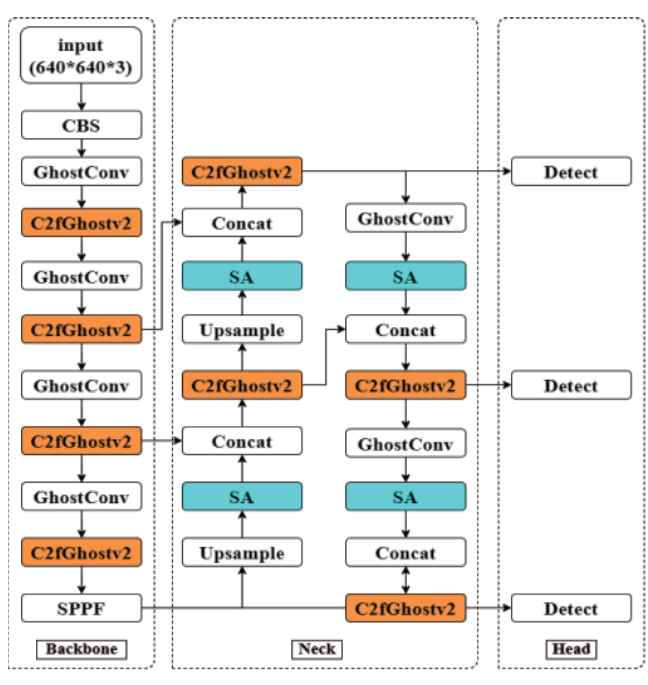


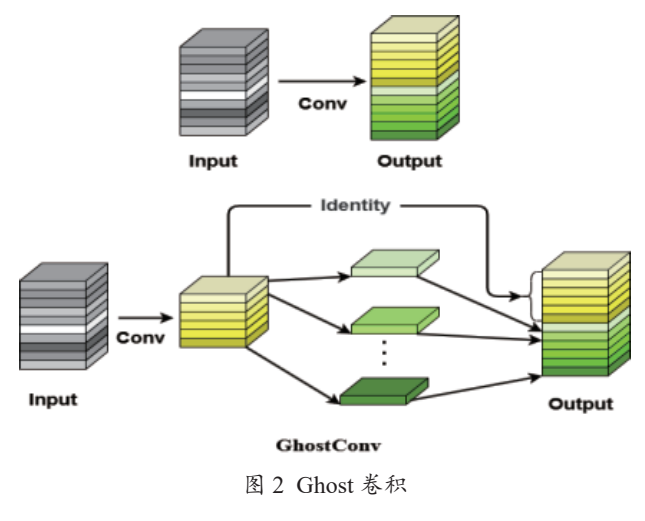
图 1 GSE-YOLO 网络结构

1.1 轻量型特征提取模块 C2fGhostv2

交通监控场景中,车辆目标检测的实时性至关重要。然而 YOLOv8 模型的特征提取主要依赖 3*3 卷积运算,导致模型参数和计算量较大。因此,本文根据 Ghost 卷积,设计了轻量高效的 C2fGhostv2 特征提取模块替代 YOLOv8 中的 C2f 模块。

Ghost 卷积能在增加特征图数量的同时,尽可能减少参数的使用。输出特征图由两部分组成:第一部分通过常规卷积生成,第二部分通过线性变换生成 [7]。Ghost 卷积与常规卷积的不同之处如图 2 所示。相较于传统的卷积方法,Ghost 卷积在保持模型性能的同时,显著减少了参数量和计算量。Ghostv2Bottleneck 由 Ghost 卷积结合解耦全连接(DFC)注意力机制构建而成,具有动态校准与捕捉长距离空间信息的能力。相比于 Bottleneck,Ghostv2Bottleneck 可以使用更少的参数获得更多的特征信息。C2fGhostv2 模块使用 Ghostv2Bottleneck 代替 C2f 模块中的 Bottleneck,有效减少 Bottleneck 中普通卷积带来的冗余计算。在不削弱特征提

取能力的前提下,减少参数量,保证轻量化。具体结构如图 3 所示。



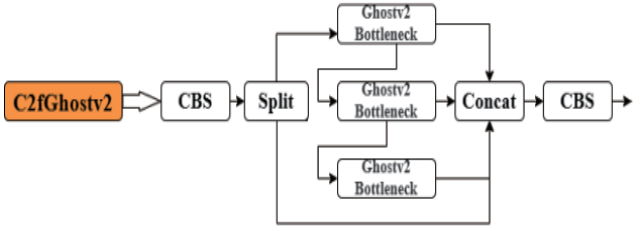


图 3 C2fGhostv2 模块

1.2 引入 SA 注意力机制

注意力机制是一种有助于网络模型学习输入信息重要性的方法,包括空间注意力机制和通道注意力机制。SA(shuffle attention)注意力机制引入了通道随机混合操作(channel shuffle),分块并行两种注意力机制,使其高效组合减少计算量^[8]。具体结构如图 4 所示。

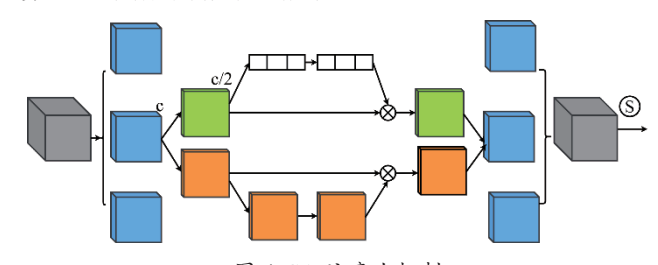


图 4 SA 注意力机制

首先将特征图分组,接着将每一组都分为两部分,分别使用空间和通道注意力机制;然后将两部分特征图按通道数叠加;最后将所有分组用通道随机混合操作,得到输出特征图 ^[9]。在网络的瓶颈部分嵌入注意力机制,可以有效地捕获位置信息和通道信息。因此,为了弥补原始网络融合浅层信息不足的缺点,本文在 Neck 部分进行特征融合前,添加 SA注意力模块。

1.3 改进损失函数

在目标检测中,优秀的边界框回归损失函数可以显著提

升模型性能。YOLOv8 采用了 CIOU(complete intersection over union)损失函数。相比于普通的 IOU,它综合考虑多种影响因素如纵横比等,因此能更好地调整预测框以匹配真实框。然而,纵横比是相对值,存在一定的模糊性,回归效果不稳定。本文使用的 EIOU 损失函数在 CIOU 的基础上进行改进,通过添加新的惩罚项,很好地解决了上述问题。EIOU 的公式为:

$$\begin{split} & \text{Leiou} = L_{\text{IOU}} + L_{\text{dis}} + L_{\text{asp}} \\ & = 1 - IOU + \frac{\rho(b, b^{\text{gt}})}{(w^{\text{c}})^2 + (h^{\text{c}})^2} + \frac{\rho^2(w, w^{\text{gt}})}{(w^{\text{c}})^2} + \frac{\rho^2(h, h^{\text{gt}})}{(h^{\text{c}})^2} \end{split} \tag{1}$$

式中: w^c 和 h^c 表示预测框和真实框的最小外接矩形的宽度和高度, $\rho(b,b^g)$ 代表了预测框和真实框的中心点之间的欧氏距离 [10]。

EIOU 的惩罚项在 CIOU 的基础上进行了改进,分别计算预测框和真实框的宽度和高度损失,以减小宽高之间的差异,从而加速模型的收敛。

2 实验结果与分析

2.1 实验环境与数据集

实验在 Windows 10 操作系统上进行,使用 Python 3.10、CUDA 11.1、PyTorch 1.9.1 深度学习框架,GPU 为 NVIDIA CeForce RTX 3080ti。为验证本文的改进算法在车辆目标检测场景中的有效性,实验采用统一的基线模型 YOLOv8,输入图片尺寸为 640×640 ,采用 SGD 优化器,初始学习率 0.01,动量参数 0.937,训练 100 轮,batchsize 32。

本文所使用的数据集来自 UA-DETRAC 公开交通数据

集,如图 5 所示。数据集包括多种天气场景和车辆类别。 UA-DETRAC 数据集中同一视频下的图片数据相似度过高, 直接训练会导致数据冗余,产生过拟合,因此本文对原始数 据集进行处理,同一场景中的图片每 10 张提取一张,得到 13 826 张图片作为本文的实验数据集。

2.2 评价指标

本文的实验结果评价指标为:精确率(P)、召回率(R)、平均精度均值(mAP)、模型参数量(Params)、模型复杂度(GFLOPs)。各指标的计算方法如下:

$$P = \frac{\text{TP}}{\text{TP} + \text{FP}} \tag{2}$$

$$R = \frac{\text{TP}}{\text{TP} + \text{FN}} \tag{3}$$

$$AP = \int_0^1 P(R) \, dR \tag{4}$$

$$mAP = \frac{\sum_{m=1}^{M} AP}{M}$$
 (5)

式中: TP 表示正确识别的正样本数量,FP 表示将负样本错误地识别为正样本的数量,FN 表示将正样本错误地识别为负样本的数量 $^{[11]}$ 。AP 代表 P-R 曲线下的面积,其数值反映了分类器的性能。mAP 则是各类别 AP 的平均值,用于整体评估分类器的性能。

2.3 实验结果分析

如图 6 所示,经过大约 30 轮的训练,原始模型与改进模型的损失值趋于稳定。实验结果表明,改进模型 GSE-YOLO 相较于原始 YOLOv8 模型,损失值更小、收敛更快。

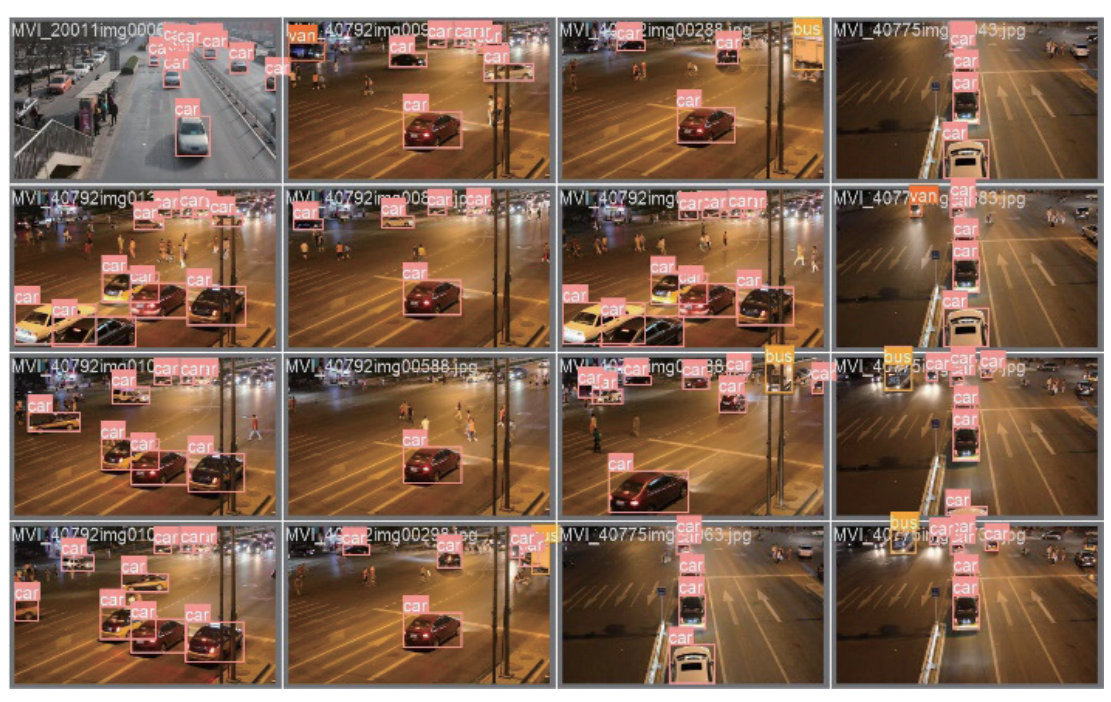


图 5 UA-DETRA 交通数据集展示

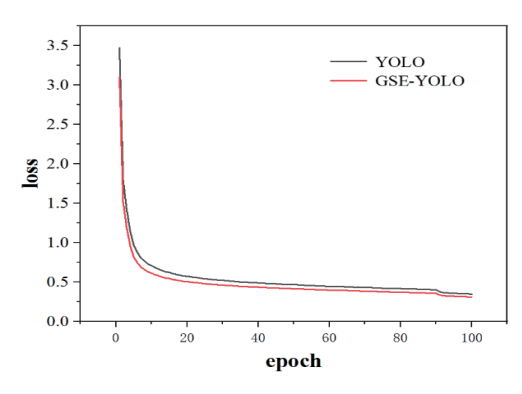


图 6 训练损失曲线

为验证改进后算法的有效性,根据所提出的改进模型设计消融实验,各项评价指标如表 1 所示。

表1 消融实验结果

C2fGhostv2	SA	EIOU	P/%	R/%	mAP@0.5	Params /MB	GFLOPs /GB
_	_	_	95.84	94.16	98.12	3.15	8.9
√	_	_	95.38	92.11	96.83	2.01	6.3
√	√	_	95.73	94.15	98.13	2.03	6.3
√	√	√	96.12	95.13	98.54	2.03	6.3

由消融实验结果可知,使用 C2fGhostv2 模块替换原始 C2f 模块并引入 Ghost 卷积后,模型的参数量和计算量显著下降,但在 P、R、mAP 三项指标上分别下降了 0.46%、2.05%、1.29%,说明 C2fGhostv2 模块和 Ghost 卷积模块在轻量化方面十分优异,但在特征提取方面略有欠缺。因此,本文引入 SA 注意力模块和 EIOU 损失函数来弥补检测精度的损失。依次加入 SA 注意力模块和 EIOU 损失函数,模型性能逐步上升,证明了模型改进的有效性。GSE-YOLO 相较于原始 YOLOv8,在参数量下降了 36.11%、计算量下降了 29.21% 的情况下,仍然提高了模型的检测精度,充分证明了本文改进模型的优越性。

3 结语

针对基于交通监控场景的车辆目标检测算法复杂度较高、计算量过大,难以在资源有限的设备中部署的问题,本文提出一种基于 YOLOv8 改进的轻量型车辆目标检测算法: GSE-YOLO。首先,在原有模型中引入轻量型特征提取模块 C2fGhostv2 和 Ghost 卷积,大幅降低参数量和计算量。然后,在 Neck 端添加 SA 注意力模块并将 CIOU 替换为 EIOU,提高检测精度。实验结果表明,与原始 YOLOv8 相比,改进算法参数量下降了 36.11%,计算量下降了 29.21%,实现了车辆目标检测模型的轻量化改进,满足交通监控场景的要求。未来的车辆目标检测研究应当集中在提高检测精度和速度的同时,应对复杂场景和多样化车辆的挑战。此外,基于端到端的无监督或弱监督学习方法也可能成为研究热点,

以减少对大量标注数据的依赖,推动车辆目标检测技术的实际应用。

参考文献:

- [1]GIRSHICK R, DONAHUE J, DARRELL T, et al.Rich feature hierarchies for accurate object detection and semantic segmentation[C]//2014 IEEE Conference on Computer Vision and Pattern Recognition. Piscataway: IEEE, 2014:580-587.
- [2]REN S, HE K, GIRSHICK R, et al.Faster R-CNN:towards real-time object detection with region proposal networks[J]. IEEE transactions on pattern analysis&machine intelligence, 2017, 39(6):1137-1149.
- [3] 田智慧,杨奇文,魏海涛.基于改进的 YOLOv3 多目标 小尺度车辆检测算法研究 [J]. 计算机应用与软件,2023,40(12):169-175.
- [4] 赵璐璐, 王学营, 张翼, 等. 基于 YOLOv5s 融合 SENet 的 车辆目标检测技术研究 [J]. 图学学报, 2022, 43(5):776-782.
- [5] 周飞,郭杜杜,王洋,等.基于改进 YOLOv8 的交通监控 车辆检测算法 [J]. 计算机工程与应用,2024,60(6):110-120.
- [6] 张利丰, 田莹. 改进 YOLOv8 的多尺度轻量型车辆目标检测算法 [J]. 计算机工程与应用,2024,60(3):129-137.
- [7]HAN K, WANG Y, TIAN Q, et al.GhostNet:more features from cheap operations[C]//2020 IEEE/CVF Conference on Computer Vision and Pattern Recognition,[v.1].Piscataway: IEEE, 2020:1577-1586.
- [8]YANG Y.SA-Net:shuffle attention for deep convolutional neural networks[C]//2021 IEEE International Conference on Acoustics,Speech and Signal Processing,[v.1].Piscataway: IEEE, 2021:2235-2239.
- [9] 郭玉彬. 基于视频图像的车辆检测跟踪及行为识别研究 [D]. 北京: 北京交通大学,2021.
- [10]ZHANG Y, REN W, ZHANG Z, et al.Focal and efficient IOU loss for accurate bounding box regression[J].Neurocomputing, 2022, 506(Sep.28):146-157.
- [11] 郭柏璋, 牟琦, 冀汶莉. 融合注意力机制的 YOLOv5 深度 神经网络杂草识别方法 [J]. 无线电工程,2023,53(12):2771-2782.

【作者简介】

刘荣欣(1999—),男,河南洛阳人,硕士研究生,研究方向: 计算机视觉、目标检测。

卢胜男(1982—),女,江苏徐州人,博士,硕士生导师,研究方向:图像处理及机器学习、大数据技术应用。

刘晓天(1999—),男,山东济南人,硕士研究生,研究方向:模式识别、计算机视觉。

(收稿日期: 2024-04-08)